



Síntese de novos análogos 1,2,5-triazóis com potencial ação anti-*T. cruzi*. Ana Carolina Mazzochi^{1*} (PG), Maurício S. dos Santos¹ (PQ).

¹ Universidade Federal de Itajubá (UNIFEI), Instituto de Física e Química (IFQ), Itajubá-MG, 37500-903 *d2020022260@unifei.edu.br

RESUMO

A Doença de Chagas (DC) é um grande problema de saúde pública, atingindo a população brasileira e mundial, sendo endêmica em 21 países da América Latina. O protozoário *Trypanosoma cruzi* é o responsável pela DC, sendo o principal meio de transmissão a picada do inseto conhecido por barbeiro. A DC é dividida em duas fases: a primeira denominada fase aguda, que pode ser tanto assintomática quanto sintomática, e a fase crônica, que pode causar complicações no coração e até mesmo em outros órgãos. Atualmente os fármacos disponíveis são o benznidazol e o nifurtimox, mas ambos têm boa eficácia somente na fase aguda da doença, enquanto na fase crônica os dois compostos apresentam baixa eficácia. O intuito desse projeto é sintetizar 16 compostos inéditos 1,2,5-triazóis **1(a-p)** para a avaliação da atividade anti-*T. cruzi*. Os produtos estão sendo caracterizados por Espectroscopia de Infravermelho por Transformada de Fourier, Ressonância Magnética Nuclear de ¹H e de ¹³C, Espectrometria de Massas de Alta Resolução e Cromatografia a Gás acoplada à Espectrometria de Massas.

Palavras-chave: Doença de Chagas, fármacos, triazol.

Introdução

A Doença de Chagas (DC) é causada pelo protozoário *Trypanossoma cruzi* e é transmitida principalmente pela picada do inseto vetor da família triatomíneo, conhecido no Brasil popularmente como "barbeiro" (1,2).

A Organização Pan-Americana da Saúde (OPAS) coloca a DC, junto com mais de 30 doenças, cuja meta é eliminar até 2030. Todavia, é um grande desafio, principalmente no que diz respeito a quimioterapia, pois somente dois fármacos estão disponíveis: o benznidazol e o nifurtimox. Ambos podem causar diversos efeitos colaterais e mostram baixa eficácia na fase crônica da DC (3).

Nosso grupo de pesquisa tem sintetizado diversos derivados heterocíclicos para a avaliação da ação anti-*T. cruzi* (4,5). No intuito de continuar a investir em potenciais agentes tripanocidas, neste trabalho foram planejados 16 derivados inéditos 1-aril-4(*N*-benzilamina)-3-carbonitrila-1*H*-1,2,5-triazóis **1(a-p)**.

Experimental

Os produtos desejados **1(a-p)** estão sendo sintetizados em 3 etapas, partindo de anilinas e passando pelos intermediários 2-(2-fenilhidrazinilideno)malononitrilas **2(a-p)**, conforme mostrado no esquema 1 (6,7). Tanto os produtos finais quanto os intermediários estão sendo caracterizados por Espectroscopia de Infravermelho por Transformada de Fourier (FT-IR), Ressonância Magnética Nuclear (RMN) de ¹H e de ¹³C, Espectrometria de Massas de Alta Resolução (HRMS) e Cromatografia a Gás acoplada à Espectrometria de Massas (GC-MS).

Esquema 1: Rota sintética dos produtos 1(a-p).

R: a=H; b=3-CI; c=2,4-diCI; d=3,5-diCI; e=3,4-diCI; f=2,3-diCI; g=3-CH₃; h=4-CI; i=4-F; j=3-F; k=4-Br; l=3-Br; m=4-CH₃; n=4-NO₂; o=4-OCH₃; p=3-CF₃.

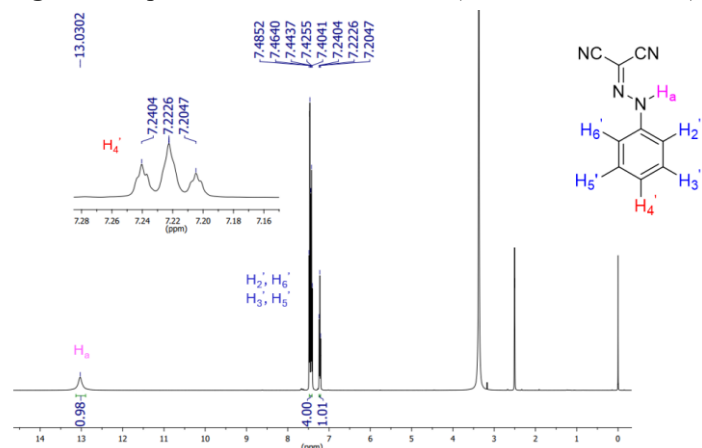
Resultados e Discussão

Até o momento, todos os 16 intermediários **2(a-p)** todos foram sintetizados e caracterizados. As análises de FT-IR mostraram evidências da formação dos intermediários **2(a-p)** com bandas típicas do estiramento da ligação N-H em 3256 a 3186 cm⁻¹, dos estiramentos das ligações Csp²-H em 3197 a 3011 cm⁻¹. As bandas referentes aos estiramento das ligações C≡N e C=N foram observadas na faixa de aproximadamente 2230 e 1600 cm⁻¹, respectivamente. Até o momento, 3 derivados foram caracterizados por GC-MS: **2a**, **2b** e **2g**. Os cromatogramas apresentaram somente um pico em cada caso e espectros de massas mostraram um pico com a razão *m/z* condizente com a esperada.



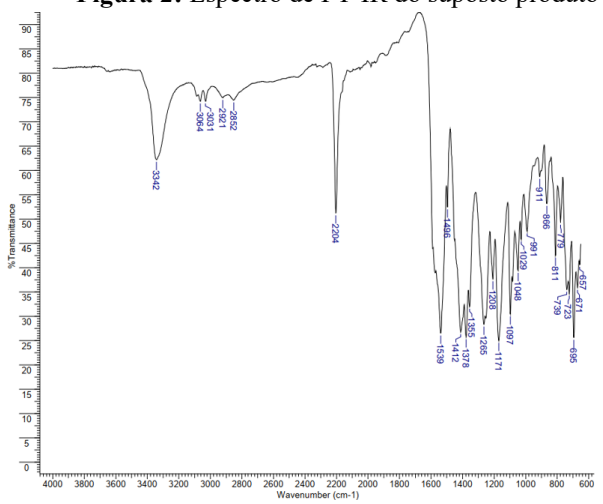
Com relação à caracterização por RMN foi feita para os intermediários 2a e 2g. Como exemplificação, o espectro de 2a é mostrado na figura 1. Em δ 13,03 ppm é observado um simpleto, referente ao hidrogênio da ligação N-H. O multipleto em δ 7,48-7,40 ppm é relativo à H_2'/H_6' e H_3'/H_5' e o tripleto em δ 7,22 ppm (J=7,1Hz) é associado à H₄'.

Figura 1: Espectro de RMN de ¹H do 2a (400 MHz, DMSO-*d6*).



Com relação à síntese dos derivados triazólicos 1(a-p), até o momento foram sintetizados 6 compostos que, a princípio, seriam 1(a-e,h). Como exemplo, na figura 2 é mostrado o espectro de FT-IR do suposto produto 1a. A banda em 3342 cm⁻¹ é referentes ao estiramento da ligação N-H, enquanto em 2204 cm⁻¹ a banda é relativa ao estiramento da ligação C≡N.

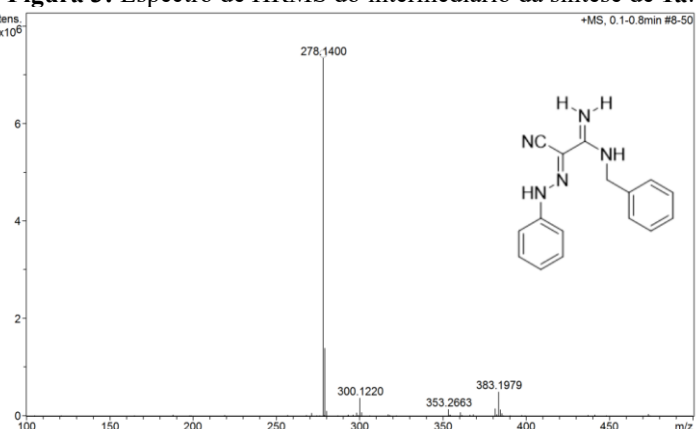
Figura 2: Espectro de FT-IR do suposto produto 1a.



Pela análise de FT-IR as bandas estavam condizentes com a estrutura proposta. Todavia, as análises de HRMS mostraram que o composto isolado foi um intermediário da reação, uma derivado amidínico. No caso do derivado 1a, a razão m/z [M+H]⁺ é 278,1406 para tal intermediário e o valor encontrado foi 278,1400, com erro de 2,1 ppm (Figura 3).



Figura 3: Espectro de HRMS do intermediário da síntese de 1a.



Conclusões

Todos os 16 intermediários planejados 2(a-p) foram sintetizados com rendimentos de 9 a 95%. Com relação aos produtos finais 1(a-p), as análises de HRMS mostram que na tentativa de obtenção de 6 derivados 1(a-e,h) foram isolados exclusivamente os intermediários amidínicos. Portanto, serão investigadas novas metodologias para obter os derivados propostos 1(a-p).

Agradecimentos













Referências

- 1. D. Frazão, Oswaldo Cruz: médico sanitarista brasileiro. eBiografia. 2023. Disponível em: https://www.ebiografia.com/oswaldo_cruz/.
- 2. Pan American Health Organization. Chagas Disease. 2020. Disponível em: https://www.paho.org/en/topics/chagas-disease.
- 3. L.C. Dias; et al. Química Nova 2009, 32, 2444-2457.
- 4. L.M.R. Orlando; et al., Molecules 2021, 26, 6742.
- 5. T.P. Souza; et al., Molecules 2024, 29, 3544.
- 6. M.S.T. Goncalves; et al., Journal of Chemical Research 2004, 03, 115-117.
- 7. K.D. Gavlik; et al., Dyes and Pigments 2017, 136, 229-242.